

## РАСПРЕДЕЛЕНИЕ КОНЦЕНТРАЦИИ ЭЛЕКТРОНОВ И ВОЛНОВЫЕ ПРОЦЕССЫ В ИМПУЛЬСНОМ РАЗРЯДЕ

*P. И. Солоухин, Ю. А. Якоби*

(Новосибирск)

Описывается количественный шлирен-метод измерения градиента плотности электронов с применением лазерного источника в инфракрасном диапазоне, обеспечивающий измерение плотности выше  $10^{14} \text{ см}^{-2}$ , а также детальное наблюдение профиля ионизации газа в импульсном разряде.

Приводятся некоторые результаты изучения распределения концентрации электронов по сечению разрядной трубки в прямом разряде в аргоне в течение протекания разрядного тока, а также на последующих стадиях процесса. Для измерения во времени градиентов электронной плотности и для построения общей картины распределения плазмы использовался шлирен-метод с  $\text{CO}_2$ -лазером ( $10.6 \mu\text{m}$ ) в качестве источника света. Проведенные измерения выявили сложную картину формирования серии последовательных радиальных волн сжатия, существующих в течение достаточно длительного периода после окончания разряда.

Процессы, происходящие в прямом импульсном разряде, в настоящее время вновь привлекают к себе внимание в связи с выбором рабочего режима мощных газовых лазеров [1-4]. Представляется вероятным, что в импульсных режимах в возбуждении инверсии принимает участие не только первичный процесс — электрический разряд, но и ряд вторичных явлений — ударные волны, рекомбинация, химические реакции и т. п. Существование гидродинамических возмущений в прямых разрядах было зарегистрировано в ряде работ [5, 6]. Ударные волны и волны сжатия могут вызывать дополнительную инверсию заселенности путем ионизации и последующего электронного возбуждения атомов и молекул. При этом наибольший интерес представляют плотности порядка  $10^{16} - 10^{17} \text{ см}^{-3}$ , поскольку при меньших плотностях трудно получить заметный коэффициент усиления в газоразрядном лазере, а при больших — инверсия быстро разрушается ударами второго рода.

Показатель преломления плазмы  $N$  определяется суммарным вкладом ее нейтральной  $n_0$  и заряженной  $n_e$  компонент

$$N - 1 = -An_e\lambda^2 + (B + C/\lambda^2)n_0 \quad (A = 4.46 \cdot 10^{-11}) \quad (1)$$

Здесь  $\lambda$  — длина волны,  $B$  и  $C$  — константы, характерные для данного атома или иона. Из формулы (1) видно, что

$$\frac{dN}{dn_e} = -A\lambda^2, \quad \frac{dN}{dn_0} = B + \frac{C}{\lambda^2} \quad (2)$$

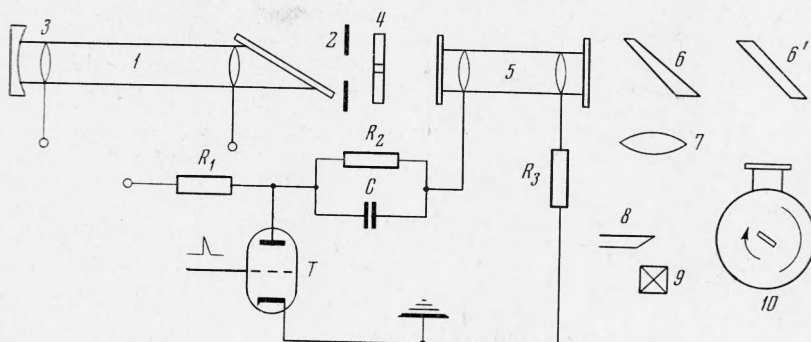
Следовательно, переход к измерениям в длинноволновой части спектра имеет принципиальное значение, так как при этом резко повышается чувствительность к электронной компоненте. Кроме того, измерения в инфракрасной области позволяют определить относительно невысокие концентрации электронов на фоне преобладающей нейтральной компоненты в слабоионизованной плазме. Появление в плазме градиента плотности электронов в направлении, перпендикулярном к направлению зон-

дирующему светового пучка, приводит к отклонению пучка на угол

$$\beta = -A\lambda^2 L \nabla n_e \quad (3)$$

где  $L$  — длина области возмущения вдоль направления светового пучка.

Схема экспериментальной установки изображена на фиг. 1. В работе использовался CO<sub>2</sub>-лазер I с прокачкой газа (мощность 20 вт), 2, 3 — зеркало лазера. В объем резонатора вводилась ирисовая диафрагма для подавления мод высших порядков. Это позволяло уменьшить размеры фокального пятна на выходе системы, а также исключить биения, которые в противном случае спорадически возникают в излучении лазера. Излучение выходило через отверстие в одном из зеркал диаметром 2 мм.



Фиг. 1

Зондировалась плазма, создаваемая в газоразрядной трубке 5 с окнами из фтористого бария. Газоразрядный промежуток 24 см, внутренний диаметр трубы 17 мм. В трубке создавался стационарный продольный тлеющий разряд, на который периодически накладываются импульсные разряды между теми же электродами. Наличие постоянного токового канала обеспечивает симметрию импульсных разрядов относительно оси трубы и обуславливает хорошую воспроизводимость условий их протекания. Ток тлеющего разряда обеспечивается выпрямителем и ограничивается сопротивлением  $R_2$ . Напряжение, падающее на этом сопротивлении, заряжает также конденсатор  $C$ . При подаче поджигающего импульса на сетку тиратрона  $T$  конденсатор разряжается через него на разрядную трубку.

Луч CO<sub>2</sub>-лазера, прошедший через трубку, попадает на соляную пластинку 6, которая направляет 1% падающего потока на линзу 7 из фтористого бария с фокусным расстоянием 30 см, фокусирующую излучение на лезвие «ножа» 8. Размеры фокального пятна 0,3 мм; нож перекрывает половину фокального пятна. Излучение регистрируется фотосопротивлением 9 Ge(Au), охлаждаемым жидким азотом. Регистрация динамики разряда по его самосвещению осуществлялась при помощи ждущего фотoregistratora 10 в режиме щелевой развертки одновременно с наблюдением шлирен-эффекта. Эксперимент проводился при  $C = 0,5 \text{ мкФ}$ ,  $R_1 = +10 \text{ к}\Omega$ ,  $R_2 = 1400 \text{ к}\Omega$ ,  $R_3 = 3 \text{ ом}$ .

Количественная интерпретация шлирен-эффекта осуществлялась следующим образом. Распределение освещенности  $J$  фокального пятна по оси  $x$ , перпендикулярной оптической оси системы и кромке ножа, определялось путем сканирования пятна кромкой ножа при помощи микрометрического винта. По полученному распределению  $J(x)$  строился гра-

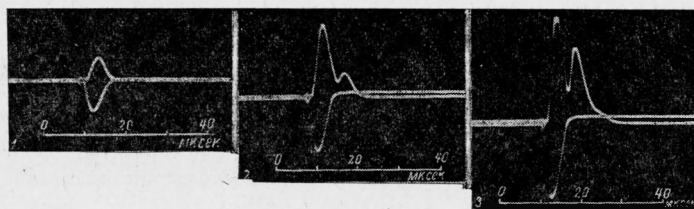
фик интегральной функции

$$\Phi(x) = \int_0^x J(x) dx$$

В результате шлирен-эффекта регистрировалась величина

$$z = \Phi(x) - \Phi(x_0)$$

где  $x_0$  — положение кромки ножа, соответствующее середине фокального пятна. Это позволяло графически определить величину линейного сме-



Фиг. 2

щения  $x - x_0 = \beta f$ , где  $f$  — фокусное расстояние линзы, а через нее и значение градиента электронной плотности  $dn_e/dr$ , где  $r$  — расстояние от оси трубки до зондируемого участка. Ввиду того что даже в установившемся режиме мощность излучения CO<sub>2</sub>-лазера колеблется в пределах 10—20%, осуществлялось мониторирование общей интенсивности. Для этого лазер питался выпрямленным нефильтрованным напряжением с частотой 100 Гц.

В моменты перехода напряжения через нуль генерация прекращается, поэтому временная картина генерации состоит из четко разделенных импульсов длительностью  $\sim 7$  мсек с частотой 100 Гц. Наблюдение шлирен-эффекта ведется на вершине одного из этих импульсов. Поскольку длительность развертки при этом составляет 50—100 мксек, изменением общей интенсивности излучения за этот промежуток времени можно пре-небречь. Линия развертки смещается относительно нормального положения на величину, равную высоте импульса генерации  $z_0$ . В описанной выше методике расчета величина  $z$  заменялась безразмерным отношением  $z/z_0$ , что обеспечивало независимость полученных результатов от колебаний интенсивности лазера. Параллельно осуществлялось осциллографирование тока через газоразрядную трубку.

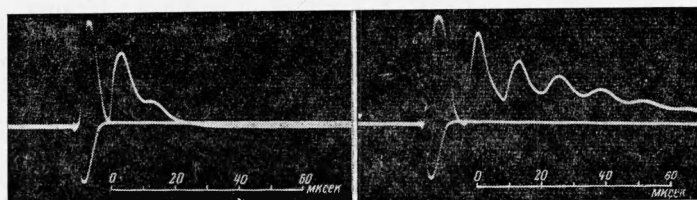
Характерной особенностью полученных осциллограмм является наличие второго максимума шлирен-сигнала уже после окончания тока. Величина этого сигнала растет с увеличением импульсного тока через трубку; на фиг. 2 приведены осциллограммы шлирен-сигнала и разрядного тока при  $p = 0,5$  тор и напряжениях в трубке  $U = 2, 3, 4$  кв для кадров 1, 2, 3 соответственно; на фиг. 3 — то же при  $U = 3$  кв и  $p = 1, 2$  тор для кадров 1 и 2.

Скоростные щелевые развертки самосвещения разряда регистрируют серию интенсивных радиальных возмущений, существующих в трубке после окончания разряда. Анализ осциллограмм и разверток свечения газа показывает, что второй максимум ионизации связан со сходящейся к центру ударной волной. Была вычислена скорость ударной волны как отношение удвоенного расстояния точки вблизи оси до стенки к промежутку времени от первого до второго максимума.

Приводим значения скоростей  $W$  км/сек ударных волн в зависимости от напряжения  $U$  кв и давления  $p$  тор

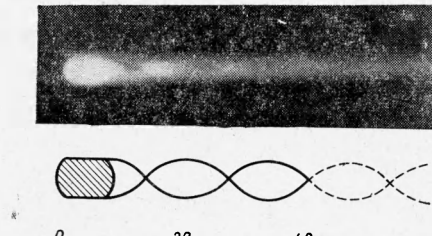
$$\begin{aligned} W &= 2.7, 3.1, 3.4 \text{ для } U = 3, 4, 5 \text{ при } p = 0.5 \\ W &= 1.9 \text{ при } U = 3, p = 1 \\ W &= 1.4 \text{ при } U = 3, p = 4 \end{aligned}$$

Как и следовало ожидать, с повышением давления средняя скорость ударной волны понижается. Осциллограммы шлирен-сигнала при повы-

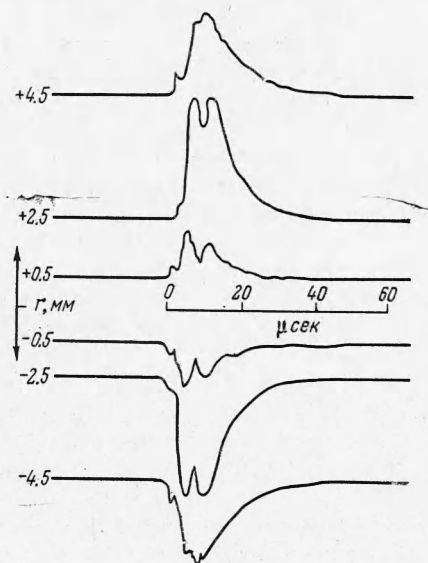


Фиг. 3

шении давления показывают наличие целой серии последовательных радиальных возмущений. Скоростная развертка при этих давлениях также показывает формирование серии последовательных радиальных волн сжатия, существующих в течение времени в 5—20 большего, чем длительность разряда; на фиг. 4 такая развертка самосвещения разряда дана для  $p = 2$  тор,  $U = 3$  кв.



Фиг. 4



Фиг. 5

Производилось осциллографирование временных зависимостей шлирен-эффекта при радиальном смещении зондирующего луча лазера параллельно оси трубки. При переходе луча через ось трубы наблюдалось отклонение  $z$  меняло знак, что свидетельствовало о симметрии разряда относительно оси (на фиг. 5 приведена радиальная зависимость шлирен-сигнала).

По результатам замеров на разных радиусах было построено радиальное распределение электронной плотности на различных стадиях процесса путем вычисления интегральной функции

$$\int_0^r \frac{dn_e}{dr} dr$$

На фиг. 6 представлены полученные таким образом профили в моменты первого (a) и второго (б), максимумов ионизации, а также в момент, когда сходящаяся волна еще не приблизилась к центру трубки (момент первого максимума ионизации (в)). При малых давлениях волна лишь «выползает» профиль ионизации, а при увеличении начального давления в разрядной трубке фронт ударной волны можно непосредственно наблюдать по форме профиля электронной плотности. На фиг. 7 представлена зависимость максимальной ионизации  $n_e$  от давления  $p$  при  $U = 3$  кв, а также от напряжения  $U$  на трубке при  $p = 0.5$  тор в моменты первого и второго максимумов на оси трубки.

Параллельно с измерением шлирен-эффекта производилась интерферометрия той же плазмы в режиме фотометрического счета полос на интерферометре Майкельсона с CO<sub>2</sub>-лазером в качестве источника света. Полученные результаты хорошо согласуются с приведенными выше. Следует, однако, отметить, что при работе в режиме фотоэлектрического счета полос на осцилограммах наблюдались искажения, связанные со шлирен-эффектом, проявляющимся одновременно с фазовым сдвигом. Заметим также, что относительная роль шлирен-эффекта возрастает при переходе в инфракрасную область спектра.

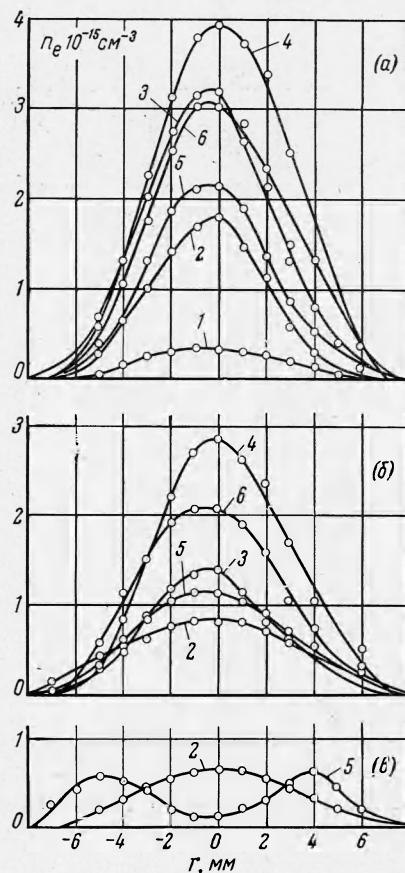
В самом деле, величина фазового сдвига  $\Delta\phi$  световой волны, прошедшей в плазме расстояние  $L$

$$\Delta\phi = \frac{2\pi}{\lambda} (N - 1)L = -2\pi A n_e L \lambda \quad (4)$$

Шлирен-сигнал при равномерной освещенности пропорционален углу  $\beta$ . Сравнение формул (3) и (4) дает

$$\frac{\beta}{\Delta\phi} = \frac{\lambda}{2\pi} \frac{\nabla n_e}{n_e} \quad (5)$$

Полезно провести сравнительную оценку чувствительности определения электронной концентрации при интерферометрии и в шлирен-измерениях. Положим, что удается надежно регистрировать  $1/t$  долю положи-



Фиг. 6

сы. Тогда из формулы (4) имеем для минимально обнаруживаемой электронной концентрации

$$n_e^{\min} = 1 / AL\lambda t \quad (6)$$

В качестве критерия чувствительности шлирен-метода естественно принять возможность регистрации изменения также на  $1/t$  долю общей интенсивности. Из формулы (3) для минимально обнаруживаемого градиента электронной концентрации имеем

$$\nabla n_e^{\min} = S / 2AL\lambda^2 tf \quad (7)$$

где  $S$  — размер фокального пятна. Отсюда

$$\frac{\nabla n_e^{\min}}{n_e^{\min}} = \frac{S}{2f\lambda} \quad (8)$$

В линейном приближении  $\nabla n_e = n_e/r_0$ , где  $r_0$  — эффективный радиус плазменного образования. Отсюда условие равенства чувствительностей обоих методов запишется в виде

$$r_0 S = 2f\lambda \quad (9)$$

Интерферометрический метод более чувствителен при  $r_0 S > 2f\lambda$ , шлирен-метод — при  $r_0 S < 2f\lambda$ .

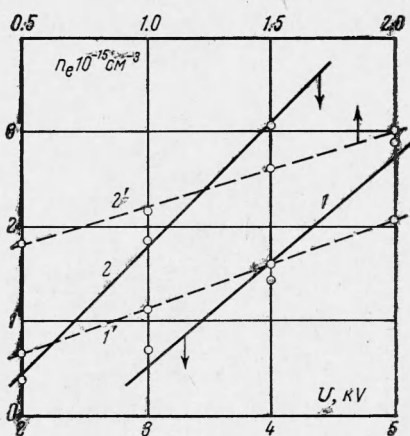
Подстановка конкретных параметров описываемого эксперимента показывает, что чувствительность шлирен-метода в рассматриваемом случае приблизительно в четыре раза выше.

Таким образом, описанный выше количественный шлирен-метод с применением лазерного источника, работающего в инфракрасном диапазоне, обеспечивает детальное наблюдение состояния ионизованного газа в импульсном разряде. Проведенные наблюдения выявили сложную картину волновых процессов в плазме разряда. Радиальные волны сжатия вызывают резкие колебания концентрации электронов в разрядной трубке, поэтому описанные выше явления могут играть существенную роль, например, при электрическом возбуждении инверсной заселенности в газовых лазерах, работающих в импульсном режиме питания.

Поступила 8 X 1970

#### ЛИТЕРАТУРА

- Леонов Р. К., Проценко Е. Д., Сапунов Ю. М. Некоторые результаты исследования импульсного газового лазера на аргоне. Оптика и спектроскопия, 1966, т. 21, вып. 2.
- Лихачев В. М., Рабинович М. С., Сутовский В. М. О возможности изучения пинч-разряда по собственному стимулированному излучению. Письма ЖЭТФ, 1967, т. 5, вып. 2.
- Hill A. E. Multijoule pulses from CO<sub>2</sub>-lasers. Appl. Phys. Letter, 1968, vol. 12, No. 9.
- McFarlane R. A., Gretz L. H. High-power operation of pulsed water-vapor laser and precision wavelength measurement of the strongest component. Appl. Phys. Letter, 1969, vol. 14, No. 12.
- Козлов Ю. Г., Шухтин А. М. Возникновение звуковых волн в газе при прохождении импульса тока. Ж. техн. физ., 1968, т. 38, вып. 9.
- Деменик И. В., Миускин Е. В., Середа Н. И., Соловей Д. П. Акустические колебания канала разряда в импульсных трубчатых лампах больших размеров. Теплофизика высоких температур, 1970, т. 8, вып. 2.
- Lutz R. W., Kiefer J. H. Structure of the vibrational relaxation zone of shock waves in oxygen. Phys. Fluids, 1966, vol. 9, No. 9.



Фиг. 7